

УДК 677.072 : 536.2

## ЗАКОНОМЕРНОСТИ КАПИЛЛЯРНОГО ВПИТЫВАНИЯ ЖИДКОСТИ ПРЯЖЕЙ\*

И. П. КОРНЮХИН, А. А. САВЕЛЬЕВ, Д. И. КОРНЮХИН

(Московская государственная текстильная академия им. А. Н. Косыгина)

В [1] при сопоставлении экспериментальных и теоретических данных выявлено, что при малых и больших, близких к единице значениях  $X$ , наблюдается удовлетворительное согласие теории с экспериментом, которое ухудшается при промежуточных значениях  $X$ . Для анализа причин такого расхождения опытные данные представлены на рис. 1 в логарифмическом анаморфозе.

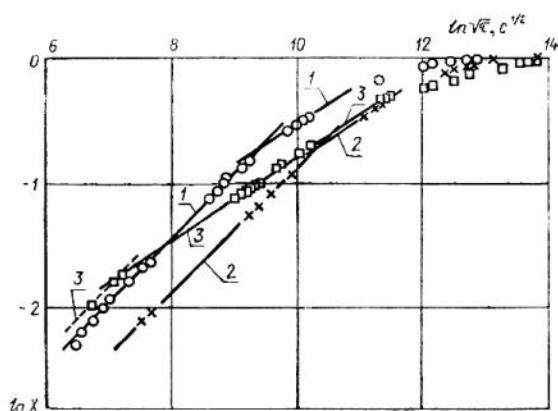


Рис. 1.

Для образцов нераскрученной пряжи 1, 2 на графике наблюдаются два явно выраженных прямолинейных участка: при малых  $X$  с наклоном  $1/2$ , что соответствует формуле (12) из [1], и с наклоном  $1/3$  в области промежуточных значений  $X$ . Для образца раскрученной пряжи 3 опытные данные не противоречат существованию участка с наклоном  $1/2$  (штриховая линия). Участки с наклоном  $1/3$  характерны для пряжи, однако не выявлены в цилиндрических капиллярах постоянного сечения.

Предположим, что пряжа представляет собой систему капиллярных каналов разных размеров с различными значениями  $\gamma$ . Допустим также существование прямо пропорциональной зависимости между среднеквадратичным значением удельной поверхности канала  $\bar{\gamma}^2$  и величиной квадрата удельной поверхности  $\gamma$  в окрестности фронта жидкости:

$$\bar{\gamma}^2 = \alpha^2 \gamma^2, \quad (1)$$

где  $\alpha^2$  — коэффициент пропорциональности.

\* Окончание. Начало см. в № 2 за 1997 г.

Фронт жидкости в каждом из капиллярных каналов движется неравномерно, причем скорости движения согласно (9), и (10) из [1] должны зависеть от  $\gamma$ . Если фронт жидкости в одном из каналов опережает фронт жидкости в другом канале, то должен наблюдаться экстремум (максимум) величины  $X$  как функции  $\gamma$ . При вычислении производной  $\partial X/\partial \gamma$  в (9) с учетом (10) из [1], а также (1) имеем

$$(1-X) [-\ln(1-X) - X] = X^2/3. \quad (2)$$

Корень  $X_m$  этого уравнения, найденный на ЭВМ методом дихотомии, составляет 0,65. При непосредственной проверке по знаку второй производной можно убедиться, что данный экстремум является максимумом. Согласно (10) из [1] движению фронта жидкости, характеризующемуся увеличением  $x$ , соответствует увеличение удельной поверхности  $\gamma$ :

$$\gamma = \rho g x / (\sigma X_m \cos \Theta). \quad (3)$$

Зависимость координаты фронта жидкости от времени можно найти из совместного решения системы уравнений (9) и (10) из [1] и уравнений (2) и (3):

$$x^3 = 3k\sigma^2 \cos^2 \Theta (1 - X_m) X_m \tau / 2a^2 \eta \rho g. \quad (4)$$

Как видно из (4), в рассматриваемом случае зависимость координаты  $x$  от времени описывается соотношением  $x \sim \tau^{1/3}$ , что объясняет наблюдающийся на рис. 1 наклон участков прямых, равный  $1/3$ , и подтверждает сделанное выше предположение.

Проведенный анализ позволяет представить картину движения фронта жидкости в системе капилляров пряжи следующим образом. В начале при малых значениях  $X$  лидирует фронт жидкости в наиболее крупном капилляре с минимальным значением  $\gamma'$  удельной поверхности. При этом процесс описывается уравнением (12) из [1] и прямая на рис. 1 имеет наклон  $1/2$ . В точке  $X'$  пересечения прямых с наклоном  $1/2$  и  $1/3$  начинается участок смены лидерства, характеризующийся наклоном  $1/3$  (4) и продолжающийся вплоть до  $X_m$ . На этом участке фронт жидкости во всех более мелких капиллярах обгоняет таковой в более крупных капиллярах, пока лидерство не перейдет к наиболее мелкому капилляру с наибольшей  $\gamma_*$  удельной поверхностью.

Дополнительное подтверждение этому механизму движения фронта жидкости можно получить путем вычисления скорости фронта  $W = dx/d\tau$  и определения условий, при которых наблюдается максимум  $W$ . В результате обнаружено, что максимум скорости наблюдается в канале при  $X = 0,5 < X_m$ . Таким образом, в фиксированный момент времени скорость фронта жидкости в канале-лидере меньше, чем в более мелком капилляре, поэтому последний в дальнейшем становится лидером, поскольку тормозящее влияние сил тяжести в более мелких каналах начинает проявляться позже, чем в крупных.

Третий характерный участок кривой капиллярного впитывания наблюдается при значениях  $X$ , близких к единице. В этих условиях общее уравнение (9) из [1] преобразуется при предельном переходе к виду

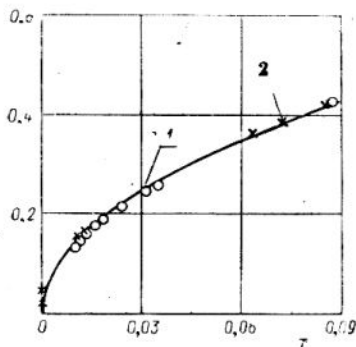


Рис. 2.

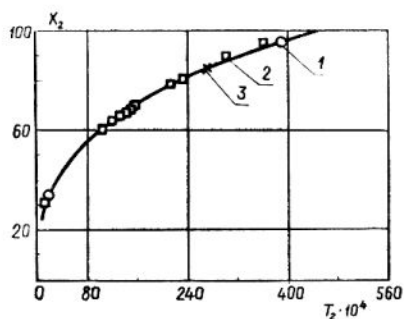


Рис. 3.

$$X = 1 - \exp(-T) \tag{5}$$

и описывает экспоненциальный процесс установления равновесия.

Предложенная теория позволяет адекватно описать опытные данные на всех стадиях процесса капиллярного впитывания. На рис. 2, 3, 4 приведены опытные данные и нанесены кривые согласно уравнениям (11) из [1], (4) и (5) соответственно для первого, второго и третьего характерных участков. На рис. 3 безразмерные координаты  $X_2$  и  $T_2$  определены как

$$X_2 = x \sqrt{\rho g / \sigma \cos \Theta},$$

$$T_2 = 3k \sqrt{\rho g \sigma \cos \Theta} \tau / 2a^2 \eta,$$

а теоретическая кривая описывается уравнением (4), которое в безразмерной форме преобразуется к виду

$$X_2 = [(1 - X_m) X_m T_2]^{1/3}. \tag{6}$$

На рис. 4 кривая, построенная по уравнению (6), хорошо обобщает опытные данные для нераскрученной пряжи (1, 2) и хуже — для раскрученной пряжи (3). Предполагается, что причина таких отклонений состоит в неоднородности структуры раскрученной пряжи в области значений  $X$ , близких единице, хотя визуально каких-либо нарушений структуры не выявлено, косвенным подтверждением чему является кривая пропитки (имеющая точку перегиба) для образца нераскрученной пряжи, на которой явно выражен дефект — местное утонение с последующим утолщением.

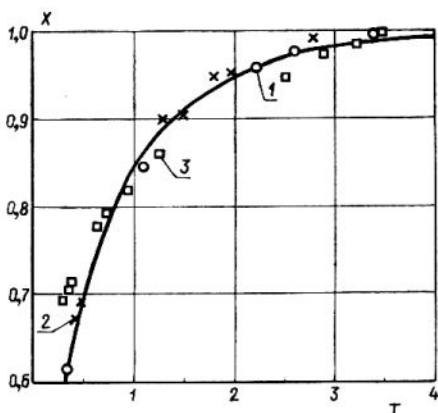


Рис. 4.

Экспериментальные исследования капиллярного подъема масел в фитилях [2] показали, что полученные данные описываются зависимостью  $x \sim \tau^n$ , где  $n$  изменяется согласно образцу ткани и виду масла

в диапазоне 0,34...0,50. Такие особенности поведения кривых капиллярного впитывания, не объясненные в [2], вполне закономерны с точки зрения развитого нами подхода. Если кривая пропитки из [2] соответствует первому, начальному участку, в логарифмических координатах, то она имеет наклон 0,50; если кривая соответствует второму участку, то ее наклон составляет 0,33. В остальных случаях, когда кривая пропитки из [2] содержит отрезки первого и второго участков в различных пропорциях, при графическом усреднении в логарифмических координатах получаются промежуточные от 0,33 до 0,50 значения показателя степени.

Предложенная теория позволяет использовать экспериментальные данные капиллярного впитывания жидкости для определения диапазона изменения величины  $\gamma$  удельной поверхности каналов в пряже в окрестности фронта пропитки, которая изменяется в пределах второго характерного участка кривой пропитки, и для решения поставленной задачи служит информация о положении границ этого участка. Согласно (3)

$$X'/\gamma' = X_m/\gamma_* \quad (7)$$

Способы определения величин  $X'$ ,  $X_m$  и  $\gamma_*$  описаны ранее и это уравнение позволяет рассчитать минимальное значение  $\gamma'$  удельной поверхности  $\gamma$  канала.

Величина  $\gamma$  обратно пропорциональна среднему радиусу кривизны фронта жидкости в канале [1], что по изменению  $\gamma$  дает возможность судить об изменении размеров капиллярных каналов в пряже и ввести относительный показатель  $\kappa$ , характеризующий это изменение:

$$\begin{aligned} \kappa &= (1/\gamma' - 1/\gamma_*) / (1/\gamma') \equiv (\gamma_* - \gamma') / \gamma_* \equiv \\ &\equiv (X_m - X') / X_m \approx (r_{\max} - r_{\min}) / r_{\max}. \end{aligned} \quad (8)$$

Вычисленные значения  $\kappa$  для образцов нераскрученной пряжи составили 0,2, а для раскрученной  $\approx 0,7$ . Как и следовало ожидать, диапазон изменения размеров межволоконных каналов в раскрученной пряже более широкий.

Как отмечалось в [1], по графику рис. 2 согласно (12) из [1] определяется величина комплекса  $k\gamma'/\bar{\gamma}^2$ , а по высоте  $h$  максимального подъема — значение  $\gamma_*$ . Из рис. 1 находят  $X'$  и по уравнению (7) рассчитывают  $\gamma'$ , что для первого участка позволяет определить величину  $\gamma^2/k$ , а с учетом (1) и величину  $a^2/k$ . Последняя предполагается постоянной на всех трех участках кривой, что подтверждается путем сопоставления теоретических и экспериментальных данных. Тогда для третьего участка кривой соотношение  $k/\bar{\gamma}^2$  соответствует  $k/(a^2\gamma_*^3)$ .

Приводим значения некоторых из полученных параметров:

$$k\gamma'/\bar{\gamma}^2 \sim 8 \cdot 10^{-8} \text{ м}; \quad \gamma \sim 3 \cdot 10^4 \text{ м}^{-1};$$

$$k/\bar{\gamma}^2 \sim 2 \cdot 10^{-12} \text{ м}^2; \quad a^2/k \sim 4 \cdot 10^2.$$

Константы  $k$  и  $a$  вычислить по отдельности не представляется возможным. В [3] изучалось влияние каналов с призматической формой поперечного сечения на величину потерь давления на трение, на основании чего можно заключить, что малые по величине острые углы в сечении канала обуславливают высокие значения относительного критерия Жуковского [3], обратного по величине коэффициенту  $k$  формы

канала. В межволоконных каналах такие углы проявляются в местах касания или наибольшего сближения волокон. Связанное с этим уменьшение  $k$  характеризует достаточно высокие значения  $\alpha^2/k$  и пониженные значения  $k/\gamma^2$ .

Следовательно, рассмотренный метод позволяет однозначно определить максимальную  $\gamma_*$  и минимальную  $\gamma'$  величины удельной поверхности каналов, а по уравнению (8) приближенно рассчитать относительную величину диапазона изменения характерных размеров капиллярных каналов.

Таким образом, предлагаемые нами теоретический и экспериментальный подходы по сравнению с известными методами можно использовать для более детального исследования капиллярных характеристик текстильных изделий и полуфабрикатов, а информацию о величине удельной поверхности — при расчете кинетики процессов переноса: сорбции, десорбции, сушки, крашения, промывки. По значению удельной поверхности оцениваются поперечные размеры межволоконных капилляров в пряже, от величины которых, по-видимому, зависит прочность пряжи.

## ВЫВОДЫ

1. Рассмотрены возможные способы описания капиллярного впитывания жидкости пряжей в поле сил тяжести и предложена оригинальная теория описания движения фронта жидкости в капиллярной структуре с каналами различных поперечных размеров.

2. Определены диапазон изменения удельных поверхностей капиллярных каналов в пряже, показатель относительной величины диапазона изменения величин удельных поверхностей и приближенный показатель характерных размеров каналов.

## ЛИТЕРАТУРА

1. Корнюхин И. П. и др. // Изв. вузов. Технология текстильной промышленности. — 1997, № 2.
2. Laughlin R. D., Davies J. E. // Textile Research J. — 1961. V. 31, № 10.
3. Темкин Г. А., Савельев П. А. Гидродинамика и теплообмен при течениях в каналах сложной конфигурации. — Рига. РПИ, 1976.

Рекомендована кафедрой промышленной теплоэнергетики. Поступила 04.10.96.